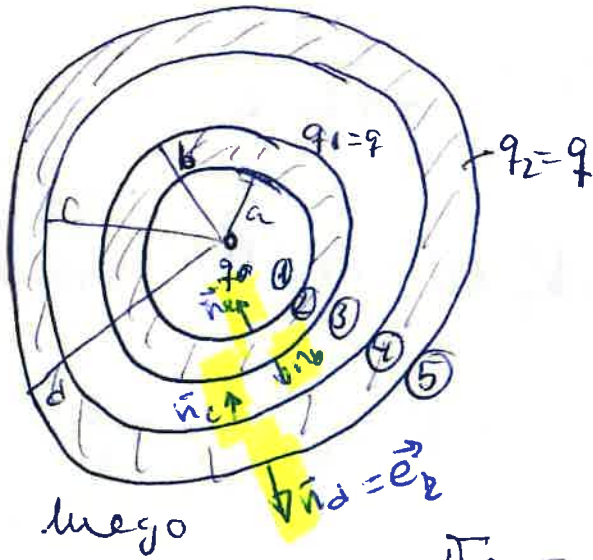


4.1) dos conductores tienen cargas  $q_1 = q$  y  $q_2 = q$  en superficies exteriores. Se distinguen 5 regiones (aplicar Th. de Gauss a campo radial).



- ①  $0 < r < a$ , ②  $a < r < b$
- ③  $b < r < c$ , ④  $c < r < d$
- ⑤  $r > d$

En  $r = a$  aparece inducida  $q_a = -q_0 = -q$ , y en  $r = b$  se induce  $-q_a$ , siendo en esta superficie la carga  $q_b = (-q_a) + q_1 = q_0 + q_1 = 2q$

$$\sigma_a = \frac{-q}{4\pi a^2} \quad ; \quad \sigma_b = \frac{2q}{4\pi b^2}$$

Análogamente, sobre el conductor en ④ en  $r = c$  se induce  $q_c = -(q_0 + q_1) = -2q$  y en  $r = d$  se induce  $+q_c$ , siendo en  $r = d$  la carga total  $(-q_c) + q_2 = 2q + q = 3q$ , entonces:

$$\sigma_c = \frac{-2q}{4\pi c^2} \quad \text{y} \quad \sigma_d = \frac{3q}{4\pi d^2}$$

(En general para Supf.  $\vec{\sigma} = \vec{n} \cdot \vec{E} \epsilon_0$ )

De otro modo: Aplicando Th. Gauss para  $\vec{E}$

- en ①  $E_1 4\pi r^2 = \frac{q_0}{\epsilon_0} = \frac{q}{\epsilon_0} \Rightarrow \vec{\sigma}_a = \vec{n}_a \cdot \vec{E}(a) \epsilon_0 = -\frac{q}{4\pi a^2}$   
( $\vec{n}_a = -\vec{e}_r$ )
- ②  $E_2 4\pi r^2 = 0 = \frac{q_0 + q_a}{\epsilon_0} \Rightarrow q_a = -q$
- ③  $E_3 4\pi r^2 = \frac{q_0 + q_1}{\epsilon_0} \Rightarrow \vec{\sigma}_b = \vec{n}_b \cdot \vec{E}(b) \epsilon_0 = \frac{2q}{4\pi b^2}$
- ④  $E_4 = 0 \Rightarrow 0 = \frac{q_c + q_0 + q_1}{\epsilon_0} \Rightarrow \sigma_c = \frac{-2q}{4\pi c^2}$  ( $\vec{n}_b = \vec{e}_r$ )
- ⑤  $E_5 4\pi r^2 = \frac{q_0 + q_1 + q_2}{\epsilon_0} = \frac{3q}{\epsilon_0} \Rightarrow \vec{\sigma}_d = \vec{n}_d \cdot \vec{E}(d) \epsilon_0 = \frac{3q}{4\pi d^2}$

Nota: Observar que en la superficie  $r = b$ ,  $\vec{n}_d = \vec{e}_r$  y  $-\vec{n}_c = -\vec{e}_r$  la carga neta es  $q_b = q_0 + q_1$  pero este conductor tiene carga neta  $(q_0 + q_1) + q_a = q_1 = q$ . ( $q_a = -q$ )

Análogamente, en la superficie  $r = d$  hay carga distribuida  $q_2 + (q_0 + q_1)$  pero en la superficie interna de este conductor se distribuye  $q_c = -(q_0 + q_1)$  siendo la carga neta  $q_2 = q$ .

Nota:  $\vec{n}$  Versor normal en Superficie de conductor (medio) hacia afuera.

Para el potencial, tomando como referencia  $V_5(r \rightarrow \infty) = 0$  se tiene, de  $\textcircled{2}$

$$\vec{E} = -\vec{\nabla}V = -\frac{dV}{dr}\vec{u}_r$$

$$\int_0^{V_5} dV = -\int_{r=\infty}^{r \in \textcircled{5}} \frac{E}{\epsilon_0} dr' \Rightarrow V_5 = \frac{3q}{4\pi\epsilon_0 r}$$

$$\int_{V_5(d)}^{V_4} dV = -\int_d^{r \in \textcircled{4}} E_4 dr' \Rightarrow V_4(r) = V_5(d) = \frac{3q}{4\pi\epsilon_0 d} = V_4(d)$$

$$\int_{V_4(c)}^{V_3} dV = -\int_c^{r \in \textcircled{3}} E_3 dr' \Rightarrow V_3 = \frac{q}{4\pi\epsilon_0} \left( \frac{3}{d} + \frac{2}{r} - \frac{2}{c} \right)$$

$$\int_{V_3(b)}^{V_2} dV = -\int_b^{r \in \textcircled{2}} 0 dr' \Rightarrow V_2(r) = V_3(b)$$

$$\int_{V_2(a)=V_3(b)}^{V_1} dV = -\int_a^r E_1 dr' \Rightarrow V_1(r) = \frac{q}{4\pi\epsilon_0} \left( \frac{3}{d} + \frac{2}{b} - \frac{2}{c} + \frac{1}{r} - \frac{1}{a} \right)$$

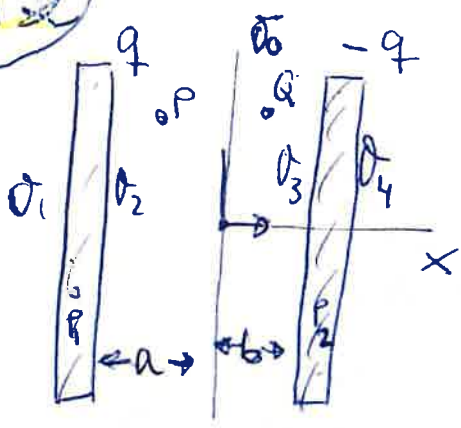


Sugerencia: repetir el problema para simetría cilíndrica (cilindros infinitamente largos concéntricos) reemplazando la carga puntual  $q_0$  por hilo de carga  $\lambda_0 = \lambda$  y las cargas en superficies  $q_1$  y  $q_2$  por cargas en superficies cilíndricas de densidades lineales  $\lambda_1 = \lambda$  y  $\lambda_2 = \lambda$ , (Tomar  $V=0$  a cierta distancia  $D > d$  del eje para evaluar el potencial entre  $r_1 = 0$  y  $r_2 = D$ ).

$$\text{Sol. } \sigma_a = \frac{-\lambda H}{\pi a^2 H} = -\frac{\lambda}{2\pi a}; \sigma_b = +\frac{2\lambda}{2\pi b}; \sigma_c = -\frac{2\lambda}{2\pi c} \text{ etc}$$

$$V_5 = \frac{3\lambda}{2\pi\epsilon_0} \ln \frac{D}{r} \quad (d \leq r \leq D) \text{ etc}$$

4.2



a) Como en 4.2, modelizando cada conductor como region con campo resultante nulo:

$$E(P_1) = 0 = \frac{\sigma_1}{2\epsilon_0} - \frac{\sigma_2}{2\epsilon_0} - \frac{\sigma_0}{2\epsilon_0} - \frac{\sigma_3}{2\epsilon_0} - \frac{\sigma_4}{2\epsilon_0} = 0 \quad (1)$$

$$E(P_2) = 0 = \frac{\sigma_1}{2\epsilon_0} + \frac{\sigma_2}{2\epsilon_0} + \frac{\sigma_0}{2\epsilon_0} + \frac{\sigma_3}{2\epsilon_0} - \frac{\sigma_4}{2\epsilon_0} = 0 \quad (2)$$

y de la carga:

$$q = \sigma_1 S + \sigma_2 S \quad (3)$$

$$-q = \sigma_3 S + \sigma_4 S \quad (4)$$

llevan a

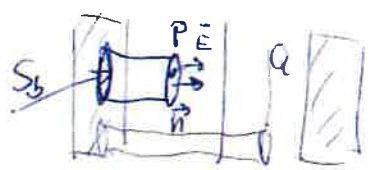
$$\sigma_1 = \sigma_4 = \frac{\sigma_0}{2}, \quad \sigma_2 = \frac{q}{S} - \frac{\sigma_0}{2}, \quad \sigma_3 = -\frac{q}{S} - \frac{\sigma_0}{2}$$

b) En P

$$\vec{E}(P) = \frac{\sigma_1}{2\epsilon_0} \vec{i} + \frac{\sigma_2}{2\epsilon_0} \vec{i} - \frac{\sigma_0}{2\epsilon} \vec{i} - \frac{\sigma_3}{2\epsilon_0} \vec{i} - \frac{\sigma_4}{2\epsilon_0} \vec{i} = \frac{\sigma_2}{\epsilon_0} \vec{i}$$

$$\vec{E}(Q) = \frac{1}{2\epsilon_0} (\sigma_1 + \sigma_2 + \sigma_0 - \sigma_3 - \sigma_4) \vec{i} = -\frac{\sigma_3}{\epsilon_0} \vec{i}$$

Por Gauss daría:



$$\vec{E}(P) \cdot \vec{n}_b = S_b E(P) = \frac{q_{int}}{\epsilon_0} = \frac{\sigma_2 S_b}{\epsilon_0} \Rightarrow \vec{E}_P = \frac{\sigma_2}{\epsilon_0} \vec{i}$$

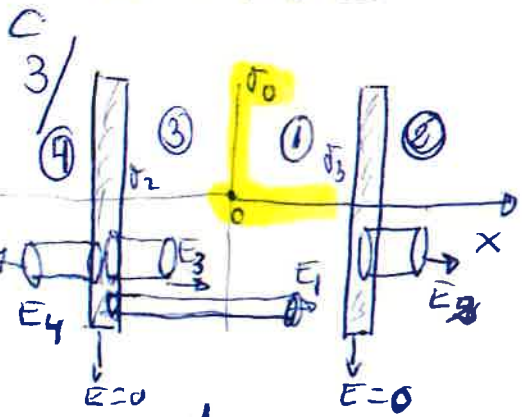
$$E(Q) S_b = \frac{(\sigma_3 + \sigma_0) S_b}{\epsilon_0} = S_b \frac{-\frac{q}{S} + \frac{\sigma_0}{2}}{\epsilon_0} = -\frac{\sigma_3}{\epsilon_0} S_b$$

Se distinguen 4 regiones con campos:

$$Poz Gauss \left\{ \begin{aligned} \vec{E}_1 &= \frac{\sigma_2 + \sigma_0}{\epsilon_0} \vec{i} = -\frac{\sigma_3}{\epsilon_0} \vec{i} = -\frac{dV_1}{dx} \vec{i} = E_Q \end{aligned} \right.$$

$$\textcircled{1} \left\{ \begin{aligned} V_1 - 0 &= -\int_0^{x < b} \vec{E}_1 dx = \frac{\sigma_3}{\epsilon_0} x \\ &(0 \leq x \leq b) \end{aligned} \right.$$

Si se desprecia el espesor de las placas:



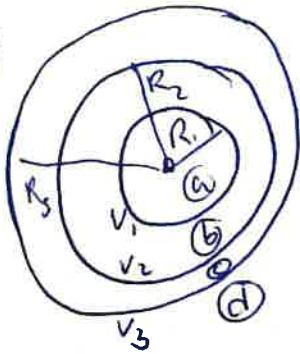
$$\text{en } \textcircled{2} \left\{ \begin{aligned} \vec{E}_2 &\equiv \frac{\sigma_4}{\epsilon_0} \vec{i} = -\frac{dV_2}{dx} \vec{i} \Rightarrow \end{aligned} \right.$$

$$\int_{V_1(b)}^{V_2} dV_2 = -\int_b^x \frac{\sigma_4}{\epsilon_0} dx \Rightarrow V_2 = \frac{\sigma_3 b}{\epsilon_0} - \frac{\sigma_4}{\epsilon_0} (x-b)$$

etc

Prob.

4.3



Distinguimos zonas a, b, c y d  
 $a = \{0 < r < R_1\}$ ,  $b = \{R_1 < r < R_2\}$  etc  
 Aplicando ley de Gauss a cada zona:

$$E S = \frac{Q_{int}}{\epsilon_0}$$

queda:  $E_a = 0$

$$E_b 4\pi r^2 = Q_1 / \epsilon_0$$

$$E_c 4\pi r^2 = (Q_1 + Q_2) / \epsilon_0$$

$$E_d 4\pi r^2 = (Q_1 + Q_2 + Q_3) / \epsilon_0 = 0$$

$$\Rightarrow 0 4\pi r^2 \Rightarrow Q_1 + Q_2 + Q_3 = 0 \quad (1)$$

Como se conocen los potenciales en cada superficie:

$$\int_{V_A}^{V_B} dV = - \int_A^B E dr \quad (V_3 = V_\infty = 0)$$

Se tiene:

$$\int_{V_3}^{V_2} dV = - \int_{R_3}^{R_2} E_c dr \Rightarrow V_3 - V_2 = \frac{Q_1 + Q_2}{4\pi\epsilon_0} \left( \frac{1}{R_3} - \frac{1}{R_2} \right) \quad (2)$$

$$\int_{V_2}^{V_1} dV = - \int_{R_1}^{R_2} E_b dr \Rightarrow V_1 - V_2 = \frac{Q_1}{4\pi\epsilon_0} \left( \frac{1}{R_2} - \frac{1}{R_1} \right) \quad (3)$$

a) de (1), (2) y (3) salen las cargas: ( $V_3 = 0 \Rightarrow V_\infty = 0$ )

$$Q_1 = 4\pi\epsilon_0 \frac{R_1 R_2}{R_2 - R_1} (V_2 - V_1), \quad Q_2 = 4\pi\epsilon_0 \frac{R_2 R_3}{R_3 - R_2} (V_2 - V_1) = Q_1, \quad Q_3 = -Q_1 - Q_2$$

b) Ahora  $V_2 = V_3$  luego  $Q_1 = Q'_1 = -Q'_2$  y  $Q'_3 = 0$

o bien:

zona entre  $R_2$  y  $R_3$  actúa como casaca esférica conductora.

$\Delta V = 0 \Rightarrow E = 0$

$Q'_2 + Q'_3 = Q_2 + Q_3 = -Q_1$

las armaduras  $R_2$  y  $R_3$  están a igual potencial, actúan como casaca conductora de carga inicial  $Q_2 + Q_3 = -Q_1$

de las densidades de carga son:

$$\sigma(R_1) = \frac{Q_1}{4\pi R_1^2} \quad ; \quad \sigma(R_2) = \frac{-Q_1}{4\pi R_2^2} \quad ; \quad \sigma(R_3) = 0$$

c)  $E'_c = 0$  en  $\{R_2 < r < R_3\}$  ya que todo es una región equipotencial (casaca conductora a efectos prácticos)

ojo  $V_3 = V_2$

$V_1 - V_3 = \Delta V$

con  $Q_2 = 0$ ,  $Q_1 + Q_2 + Q_3 = 0$

$\Rightarrow Q_1 = -Q_3 = Q$

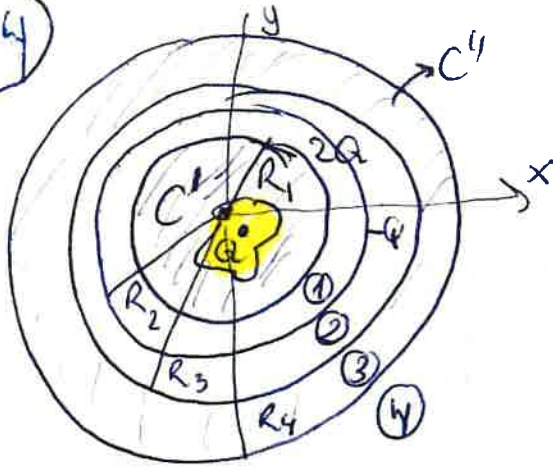
$$C = \frac{Q}{\Delta V} = \frac{Q_1}{V_1 - V_2} = \frac{4\pi\epsilon_0 R_1 R_2}{R_2 - R_1}$$

$$U_e = \frac{1}{2} C \Delta V^2$$

$\int_{V_1}^{V_2} dV = - \int_{R_1}^{R_2} E_2 dr \rightarrow$  Sale  $= V_1 - V_2$

$C = Q / \Delta V$

4.4



$C''$  se trae desde el  $\infty$  con carga neta  $Q''=0$ .

Distinguimos las regiones 1, 2, 3 y 4

$$\textcircled{1} = \{ R_1 < r < R_2 \}$$

etc

para aplicar la ley de Gauss sobre superficies esféricas centradas:

$$\left\{ \begin{aligned} E_1 \cdot 4\pi r^2 &= \frac{2Q + Q}{\epsilon_0} \Rightarrow \vec{E}_1 = \frac{3Q}{4\pi\epsilon_0} \frac{1}{r^2} \vec{u}_r && \text{en } \textcircled{1} \\ E_2 \cdot 4\pi r^2 &= \frac{2Q + Q + (-Q)}{\epsilon_0} \Rightarrow \vec{E}_2 = \frac{2Q}{4\pi\epsilon_0} \frac{1}{r^2} \vec{u}_r && \text{en } \textcircled{2} \\ E_3 &= 0 && \text{en } \textcircled{3} \\ E_4 \cdot 4\pi r^2 &= \frac{-Q + Q - Q}{\epsilon_0} \Rightarrow \vec{E}_4 = \frac{-Q}{4\pi\epsilon_0} \frac{1}{r^2} \vec{u}_r && \text{en } \textcircled{4} \end{aligned} \right.$$

con

$$\vec{E} = -\frac{dV}{dr} \vec{u}_r \quad \text{se tiene}$$

$$\int_0^{V(R_4)} dV = -\int_{\infty}^{R_4} E_4 dr \Rightarrow V(R_4) = V(C'') = \frac{2Q}{4\pi\epsilon_0} \frac{1}{R_4}$$

$$y \quad \int_{V(R_4)=V(R_3)}^{V(R_1)} dV = -\int_{R_3}^{R_1} E dr = -\int_{R_3}^{R_2} E_2 dr - \int_{R_2}^{R_1} E_1 dr \Rightarrow$$

$$V(R_1) = V(C') = \frac{Q}{4\pi\epsilon_0} \left( \frac{3}{R_1} - \frac{1}{R_2} + \frac{2}{R_4} - \frac{2}{R_3} \right)$$

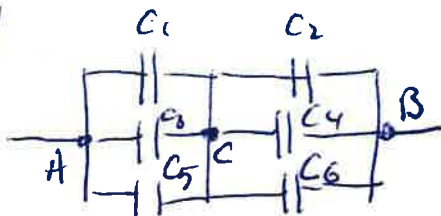
El trabajo será la diferencia entre las energías electrostáticas de las configuraciones con y sin  $C''$ . Cuando  $C''$  está en el  $\infty$  en la región  $\textcircled{3}$  el campo ya no es nulo sino que es el debido a  $E_2$ , así, sin  $C''$  los campos son  $E'_1 = E_1, E'_2 = E_2 = E'_3 = E'_4$

por tanto

$$\begin{aligned} \Delta U_e &= U_e|_{\text{con } C''} - U_e|_{\text{sin } C''} = -\frac{\epsilon_0}{2} \int_{R_2}^{R_3} E_3^2 4\pi r^2 dr = \\ &= -\frac{\epsilon_0}{2} \int_{R_3}^{R_4} \frac{4Q^2}{(4\pi\epsilon_0)^2} \frac{4\pi dr}{r^2} = -\frac{Q^2}{2\pi\epsilon_0} \left( \frac{1}{R_3} - \frac{1}{R_4} \right) = +W_u \end{aligned}$$

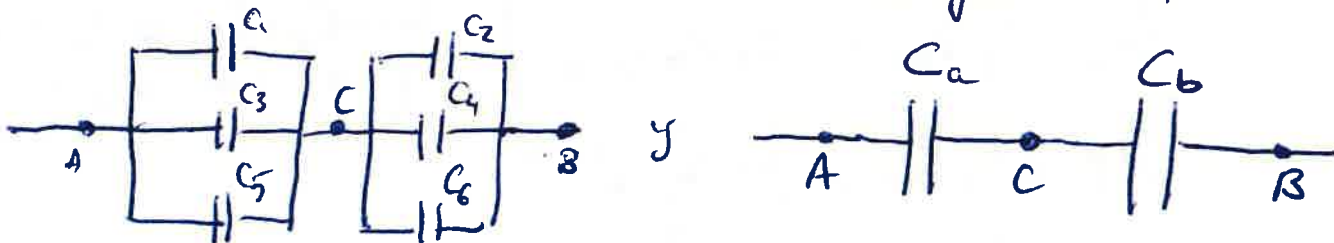
Nota:  $\vec{D}(R_3) = \epsilon_0 \vec{u}_r E_2(R_3) = -2Q/4\pi R_3^2$ ;  $\vec{D}(R_4) = \epsilon_0 \vec{u}_r E_4(R_4) = 2Q/4\pi R_4^2$   
 $\vec{D}(R_1) = \epsilon_0 \vec{u}_r E_1(R_1) = 3Q/4\pi R_1^2$  y en hueco  $\int \vec{D} \cdot d\vec{S}_{int} = -Q$

4.5/



la diferencia de potencial es  $V_{AB} = V_0$ . ①

dado que  $V_B - V_A = (V_B - V_C) + (V_C - V_A) \Rightarrow V_{AB} = V_{AC} + V_{CA}$   
podemos ver la asociación de la forma:



donde  $C_a$  y  $C_b$  están en serie, siendo cada una la capacidad equivalente de las asociaciones de los paralelos  $(C_1 - C_3 - C_5)$  y  $(C_2 - C_4 - C_6)$ . Entonces:

Como:  $\begin{matrix} C_1 \\ | \\ C_3 \\ | \\ C_5 \end{matrix} \Leftrightarrow \begin{matrix} | \\ | \\ | \end{matrix} \Rightarrow C = C_A + C_B = \frac{Q}{V}$   
 en general  $V = V_A - V_B = V_{AB} \Rightarrow \frac{Q_A}{C_A} = \frac{Q_B}{C_B} ; Q = Q_A + Q_B$

y  $\begin{matrix} C_a \\ | \\ C_b \end{matrix} \Leftrightarrow \begin{matrix} | \\ | \end{matrix} \Rightarrow \frac{1}{C} = \frac{1}{C_a} + \frac{1}{C_b}$   
 $Q_A = Q_B = Q = C V_{AB}$

se tiene para este caso:

$$\begin{cases} C_a = C_1 + C_3 + C_5 \\ C_b = C_2 + C_4 + C_6 \end{cases} ; \begin{cases} Q_a = C_a V_{AC} \\ Q_b = C_b V_{CB} \end{cases} \left. \begin{matrix} V_{AB} = V \\ Q_a = Q_b = Q \end{matrix} \right\}$$

siendo la capacidad equivalente

$$\begin{matrix} C_a & C_b \\ | & | \\ \text{---} & \text{---} \\ C \end{matrix} \Leftrightarrow \begin{matrix} | \\ | \end{matrix} \Rightarrow \frac{1}{C} = \frac{1}{C_a} + \frac{1}{C_b} = \frac{C_a + C_b}{C_a C_b}$$

con carga  $Q = C V = \frac{C_a C_b}{C_a + C_b} V = C_{AB} V$

b) Con las diferencias de potencial:

$$\begin{aligned} V_{AC} &= \frac{Q_a}{C_a} = \frac{Q}{C_a} = \frac{C_b}{C_a + C_b} V \\ V_{CB} &= \frac{Q_b}{C_b} = \frac{Q}{C_b} = \frac{C_a}{C_a + C_b} V \end{aligned} \left. \begin{matrix} V_{AC} + V_{CB} = V \\ \text{se cumple} \end{matrix} \right\}$$

4.5/ cont. Y para la carga almacenada en cada condensador  $C_1, C_3, C_5$  a igual diferencia de potencial  $V_{AC}$  se tiene:

$$Q_1 = C_1 V_{AC} = \frac{C_1 C_b}{C_a + C_b} V$$

$$Q_3 = C_3 V_{AC} = \frac{C_3 C_b}{C_a + C_b} V$$

$$Q_5 = C_5 V_{AC} = \frac{C_5 C_b}{C_a + C_b} V$$

$$Q_1 + Q_3 + Q_5 = Q = Q_a \quad (\text{se cumple})$$

Análogamente, para el paralelo  $C_2, C_4$  y  $C_6$  a  $V_{CB}$  de diferencia de potencial:

$$Q_2 = C_2 V_{CB} = \frac{C_2 C_a}{C_a + C_b} V$$

$$Q_4 = C_4 V_{CB} = \frac{C_4 C_a}{C_a + C_b} V$$

$$Q_6 = C_6 V_{CB} = \frac{C_6 C_a}{C_a + C_b} V$$

se ve que

$$Q_2 + Q_4 + Q_6 = Q = Q_b$$

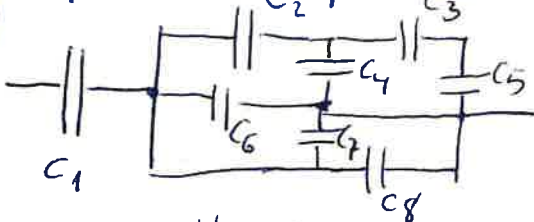
c/ la energía electrostática almacenada por el conjunto de la asociación es:

$$U_e = \frac{1}{2} Q \Delta V = \frac{1}{2} Q V = \frac{1}{2} C V^2$$

$$= \frac{1}{2} \frac{C_a C_b}{C_a + C_b} V^2 = \frac{1}{2} \frac{(C_1 + C_3 + C_5)(C_2 + C_4 + C_6)}{C_1 + C_2 + C_3 + C_4 + C_5 + C_6} V^2$$

Otro  
4.5  
bis

Capacidad equivalente y energía en serie de  $C_3$  y  $C_5$



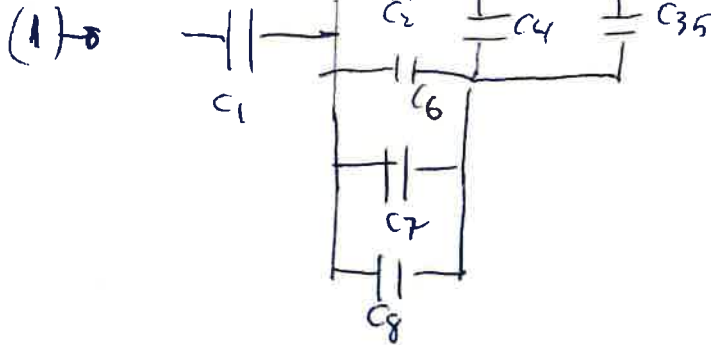
$$C_{35} = \frac{C_3 C_5}{C_3 + C_5}$$

buscando Capacitancias progresivamente:

Paralelos 6, 7 y 8

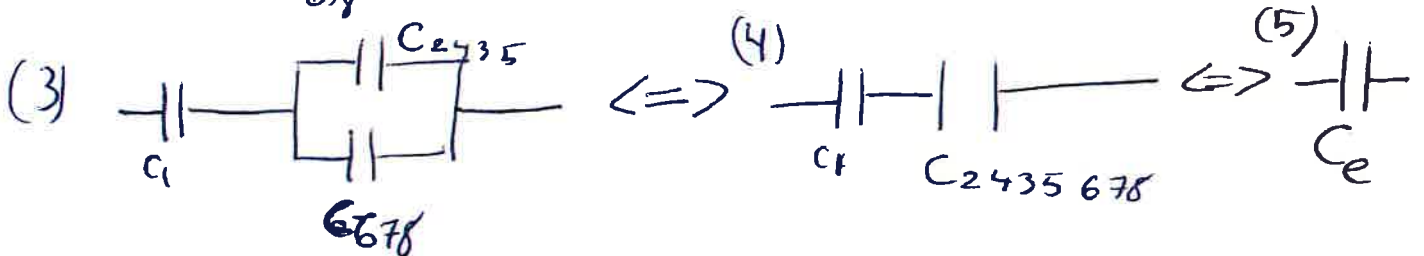
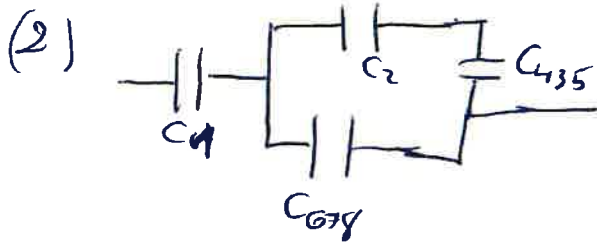
$$C_{678} = C_6 + C_7 + C_8$$

$$y \quad C_{435} = C_4 + C_{35} \quad \Rightarrow$$



serie de  $C_2$  con  $C_{435}$

$$C_{2435} = \frac{C_2 C_{435}}{C_2 + C_{435}}$$



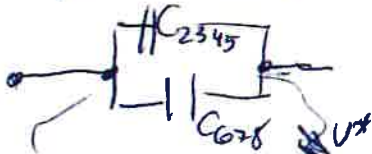
$$C_{2435678} = C_{2435} + C_{678} = C^*$$

$$C_{eq} = \frac{C_1 \cdot C^*}{C_1 + C^*} = 3 \text{ nF}$$

2/  $W_e = \frac{1}{2} C_e \Delta V^2 = 1.35 \mu\text{J}$

3/ la carga del conjunto es  $Q = C_e \Delta V = Q_{2435678}$

$C_6$  y  $C_7$  están en paralelo con  $C_{2435}$  a la diferencia de potencial  $V_{2-8}^* = \frac{Q}{C^*} = V^*$



$$Q_{2435} = C_{2435} V^* \quad y \quad Q_{678} = C_{678} V^*$$

y  $C_6$  y  $C_7$  están en paralelo a potencial  $V^*$ , luego  $Q_6 = C_6 V^*$ ,  $Q_7 = C_7 V^*$